# МИНОБРНАУКИ РОССИИ ФЕДЕРАЛЬНОЕ ГОСУДАРСТВЕННОЕ БЮДЖЕТНОЕ ОБРАЗОВАТЕЛЬНОЕ УЧРЕЖДЕНИЕ ВЫСШЕГО ОБРАЗОВАНИЯ «САРАТОВСКИЙ НАЦИОНАЛЬНЫЙ ИССЛЕДОВАТЕЛЬСКИЙ ГОСУДАРСТВЕННЫЙ УНИВЕРСИТЕТ ИМЕНИ Н.Г.ЧЕРНЫШЕВСКОГО»

Кафедра \_физики открытых систем\_

Разработка и численная реализация методов расчета спектра показателей Ляпунова и их применение для анализа поведения систем по временным рядам и диагностики режима обобщенной синхронизации в связанных системах

# АВТОРЕФЕРАТ БАКАЛАВРСКОЙ РАБОТЫ

студента _4 курса _431	группы	
направления 09.03.02«Информат факультета нелинейных процесс Евстифеева Евгения Валентинов	ОВ	ехнологии»
Научный руководитель профессор, д.фм.н., доцент должность, уч. степень, уч. звание	дата, подпись	О.И. Москаленко инициалы, фамилия
Заведующий кафедрой д.фм.н., профессор должность, уч. степень, уч. звание	дата, подпись	А.А. Короновский инициалы, фамилия

### Введение

Хаотическая синхронизация является фундаментальным явлением радиофизики [1]. На данный момент известно несколько типов хаотической синхронизации: фазовая синхронизация [2], синхронизация с запаздыванием [3], полная [4] и обобщенная [5] синхронизация. Наибольший интерес для исследователей представляет обобщенная хаотическая синхронизация, которая может возникать между системами с различной размерностью фазового пространства [6]. Явление обобщенной синхронизации успешно применяется для исследования взаимосвязи биологических, химических и физических систем [7], скрытой передачи информации [8], создания нелинейных антенн гига- и терагерцового диапазона [9] и т.д.

Под обобщенной хаотической синхронизацией понимают установление функционального соотношения (функционала) между состояниями взаимодействующих систем после переходного процесса. Это соотношение может быть как гладким, так и фрактальным [10], вследствие чего выделяют сильную и слабую обобщенную синхронизацию. В данной работе исследуется режим слабой обобщенной синхронизации.

Как правило, обобщенная синхронизация рассматривается для двух однонаправленно связанных хаотических систем [11,12], при этом одну систему называют ведомой, а другую – ведущей. Однако, существуют работы, в которых показано, что явление обобщенной синхронизации может наблюдаться и в случае взаимной связи [5, 13-14]. При такой связи ряд методов и подходов, справедливых для однонаправленно связанных систем, оказывается неприменимым, в связи с чем возникают многие трудности касательно диагностики режима обобщённой синхронизации.

Целью настоящей бакалаврской работы является изучение методов диагностики обобщенной синхронизации, а также разработка и численная реализация методов расчета старшего ляпуновского показателя по временным рядам.

Бакалаврская работа содержит 43 страницы, приведённый список литературы включает 27 наименований.

# Основное содержание работы

В первой главе рассматриваются основные методы диагностики режима обобщенной синхронизации: метод вспомогательной системы [15], метод ближайших соседей [11], метод фазовых трубок [5] и метод расчета спектра ляпуновских показателей [10]. Ляпуновский показатель определяется по формуле [17]:

$$\Lambda_i = \overline{\lim_{T \to \infty}} \frac{1}{T} \ln ||\tilde{x}_i(T)||, \tag{1}$$

где  $\Lambda_i$  — ляпуновский показатель, T — безразмерное время,  $\|...\|$  - Евклидова норма,  $\tilde{x}_i(T)$  – вектор возмущения. В случае потоковой системы, если показатель больше нуля, то с течением времени небольшое возмущение будет возрастать, а если меньше нуля – убывать. Таким образом, положительный ляпуновский показатель характеризует хаотическую динамику системы, а отрицательный – устойчивую (периодическую) [17]. Для диагностики обобщенной синхронизации в случае однонаправленно связанных (как правило, трехмерных) систем требуется рассчитать старший ляпуновский показатель для ведомой системы (так называемый старший условный ляпуновский показатель), а в случае взаимной связи – второй по старшинству показатель Ляпунова. В обоих случаях переходу к обобщенной синхронизации будет соответствовать переход этого показателя Ляпунова в область значений [10,18]. Для отрицательных расчета спектра ляпуновских показателей используется алгоритм Бенеттина с ортогонализацией Грама-Шмидта [17].

Во второй главе рассматриваются основные методы расчета ляпуновских показателей по временным рядам. В первом разделе описывается метод восстановления фазового пространства системы при помощи метода запаздываний [17,19]. Если имеется дискретный сигнал x(t), то можно

построить ряд x(t),  $x(t+\tau)$ ,  $x(t+2\tau)$ , ...,  $x(t+(m-1)\tau)$ , где  $\tau$  – величина задержки, m – размерность вложения. Элементы данного ряда являются компонентами m-мерного вектора X(t), описывающего восстановленный фазовый портрет.

Для определения оптимальной величины задержки [19] требуется рассчитать функцию автокорреляции восстановленного сигнала при различных значениях задержки. Далее выбирается такое значение величины задержки, при котором либо наблюдается первый минимум функции автокорреляции, либо величина функции убывает с 1 до значения 1-1/е.

Для определения размерности вложения [17,19] сначала задается начальное значение размерности вложения и вычисляется корреляционный интеграл. Затем, при помощи метода средних квадратов оценивается корреляционная размерность, которая будет увеличиваться до определенного значения размерности вложения, которое не превышает  $2D_{max}+1$  [16]. Для успешного применения данного метода необходимо выполнение оценки Экмана-Рюэля [16]:  $D_{max}\approx 2lgM$ , где M – количество используемых точек.

Во втором разделе второй главы представлены методы расчета старшего ляпуновского показателя: метод Вольфа [20] с накоплением по времени и по величине вектора возмущения [17], а также метод Розенштейна [21]. Метод Розенштейна был разработан для того, чтобы получить возможность расчета ляпуновского показателя по временным рядам, если к последним был добавлен стационарный шум. Для каждой точки (опорной) восстановленного аттрактора производится поиск ближайших точек, а затем рассматривается эволюция расстояния от опорной точки до ближайших с течением времени, затем оно усредняется и производится вычисление следующей зависимости от времени [21]:

$$y(i) = \frac{1}{\Delta t} \langle \ln d_j(i) \rangle, \tag{2}$$

где  $d_j(i) \approx C_j e^{\lambda_1(i\Delta t)}$  — расстояние между j-й группой ближайших точкек и опорной в момент времени  $i\Delta t$ ,  $\Delta t$  — период дискретизации временного ряда,  $C_j$  — неопределенный коэффициент,  $\lambda_1$  — старший ляпуновский показатель. Ляпуновский показатель является угловым коэффициентом полученной зависимости и определяется при помощи метода средних квадратов.

Самый распространенный метод — это метод Вольфа [17,20]. Данный метод является успешной попыткой модифицировать алгоритм Бенеттина для применения ко временным рядам. Расчет старшего ляпуновского показателя производится по формуле [17]:

$$\Lambda = \frac{\sum_{k=0}^{N-1} \ln(\varepsilon_k'/\varepsilon_k)}{\sum_{k=1}^{N} T_k},\tag{3}$$

где N — общее число ступеней алгоритма  $\varepsilon_k$  — расстояние k-й пары в начале  $\varepsilon_k'$  — расстояние k-й пары в конце интервала,  $T_k$ - интервалы накопления.

Можно выделить несколько достоинств данного метода. Во-первых, он легко реализуется и позволяет с достаточной точностью оценить старший ляпуновский показатель. Во-вторых, его можно модифицировать для определения нескольких старших показателей Ляпунова. Несмотря на все достоинства данный метод не обладает устойчивостью к шуму, и ляпуновский показатель будет слишком сильно возрастать с ростом амплитуды шумового воздействия.

Третий раздел второй главы посвящён методам оценки спектра ляпуновских показателей по временным рядам [20, 22-24]. В отличии от метода расчета старшего ляпуновского показателя по временным рядам, при оценке спектра ляпуновских показателей возникают существенные трудности. Они заключаются в том, что погрешность вычисления старших показателей Ляпунова существенно увеличивается с ростом их номера.

Сначала рассматривается метод Вольфа. Схема метода для оценки двух ляпуновских показателей представлена на рисунке 1. Формула для оценки суммы показателей Ляпунова выглядит следующим образом [20]:

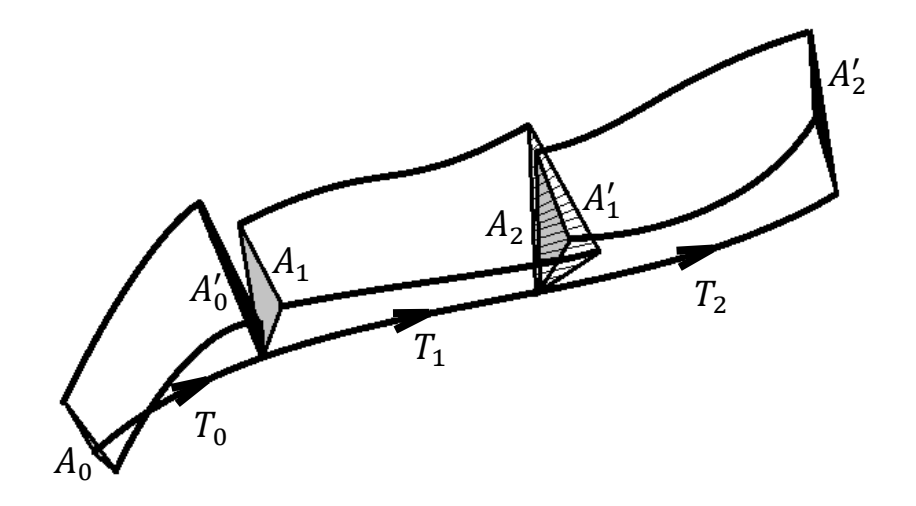


Рисунок 1 — Схема-иллюстрация метода Вольфа для оценки двух ляпуновских показателей.  $A_k$ ,  $A_k'$  — площади возмущенных фигур между k-й парой траекторий в начале интервала накопления  $T_k$  и в конце.

$$\sum_{i=1}^{m} \Lambda_i = \frac{\sum_{k=0}^{N-1} \ln(A_k'/A_k)}{\sum_{k=0}^{N-1} T_k},\tag{4}$$

где m — размерность фазового пространства исследуемой системы,  $A_k$ ,  $A_k'$  — площади возмущенных фигур между k-й парой траекторий в начале интервала накопления  $T_k$  и в конце.

Так как результатом будет являться сумма нескольких старших ляпуновских показателей то для оценки n ляпуновских показателей необходимо применить метод Вольфа n раз с возмущёнными фигурами различной размерности.

Также рассматривается метод преобразования непрерывной динамической системы в отображение [22-25], который предполагает расчет спектра ляпуновских показателей методом Вольфа после преобразования исходных данных. Сперва вводится сечение Пуанкаре [17]:  $x(t) = \theta$ . Затем, определяется время между двумя последовательными пересечениями фазовой траекторией данной плоскости в одном направлении. Далее, производится построение нового временного ряда с точками, определяемыми формулой [21-23]:

$$\omega(T_i) = \frac{2\pi}{I_i},\tag{5}$$

где  $T_i$  — предыдущее время пересечения плоскости сечения,  $I_i = T_{i+1} - T_i$  — временной интервал между двумя последовательными пересечениями в одном направлении,  $\omega(...)$  — мгновенная частота хаотических колебаний, усредненных за время  $I_i$ . Значения  $\omega(T_i)$  численно совпадают с мгновенной частотой, полученной преобразованием Гильберта [26] с усреднением и переменным окном. Если восстановить исходный сигнал и при помощи интерполяции ввести одинаковые временные интервалы, то получится временной ряд, который и анализируется. Однако, даже такие манипуляции не обеспечивают достаточную точность вычисления второго старшего показателя Ляпунова.

Также, имеется метод расчета спектра ляпуновских показателей, основанный на поиске коэффициентов матрицы Якоби [25]. Главным недостатком такого подхода является то, что нужные коэффициенты могут не быть обнаружены.

В третьей главе представлены результаты численного моделирования. В качестве исследуемых систем были взяты система Лоренца [17, 22], система Ресслера [17, 23] и две системы Ресслера, связанные однонаправленно [18] и взаимно [27]. Они описываются следующими уравнениями:

$$\dot{x} = \sigma(y - x)$$

$$\dot{y} = x(R - z) - y$$

$$\dot{z} = xy - bz,$$
(10)

где  $\sigma = 16$ , R = 45.92, b = 4.

$$\dot{x} = -y - z$$

$$\dot{y} = x + ay$$

$$\dot{z} = b + z(x - c),$$
(11)

где a = 0.15, b = 0.2, c = 10.

$$\dot{x_1} = -\omega_1 y_1 - z_1 + \varepsilon (x_2 - x_1) 
\dot{x_2} = -\omega_2 y_2 - z_2 
\dot{y_{1,2}} = \omega_{1,2} x_{1,2} + a_{1,2} y_{1,2} 
\dot{z_{1,2}} = b + z_{1,2} (x_{1,2} - c),$$
(12)

где  $a_1=0.15, a_2=0.09(0.15), b=0.2, c=10, \omega_1=0.99, \omega_2=0.95.$ 

$$\dot{x_{1,2}} = -\omega_{1,2}y_1 - z_1 + \varepsilon(x_2 - x_1) 
\dot{y_{1,2}} = \omega_{1,2}x_{1,2} + ay_{1,2} 
\dot{z_{1,2}} = b + z_{1,2}(x_{1,2} - c),$$
(13)

где a=0.15, b=0.2, c=10,  $\omega_1=0.99$ ,  $\omega_2=0.95$ .

Сначала была произведена оценка оптимальной величины задержки и оценка размерности вложения. Затем были построены восстановленные фазовые портреты систем методом запаздывания. Далее было проведено сравнение значений старшего ляпуновского показателя, рассчитанных методами по временным рядам с величиной, полученной с помощью алгоритма Бенеттина (см. таблицу 1).

Таблица 1 — Сравнение значений старшего показателя Ляпунова, рассчитанного различными методами по временным рядам, с показателем, рассчитанным при помощи алгоритма Бенеттина с использованием метода Рунге-Кутта. В качестве ошибки представлено относительное отклонение от значений показателя, рассчитанного методом Бенеттина.

	Метод Вольфа с накоплением по времени	Метод Вольфа с накоплением по расстоянию	Метод Розенштейна	Алгоритм Бенеттина
Система Ресслера	0,085	0,083	0,082	0,089
Ошибка, %	4,49	6,74	7,87	-

Система Лоренца	1,565	1,524	1,485	1,503
Ошибка, %	4,12	1,39	1,2	-

Затем, зависимость старшего ляпуновского показателя, рассчитанного методом Вольфа, была сопоставлена со спектром показателей, полученным при помощи алгоритма Бенеттина с ортогонализацией Грама-Шмидта (см. рисунок 2).

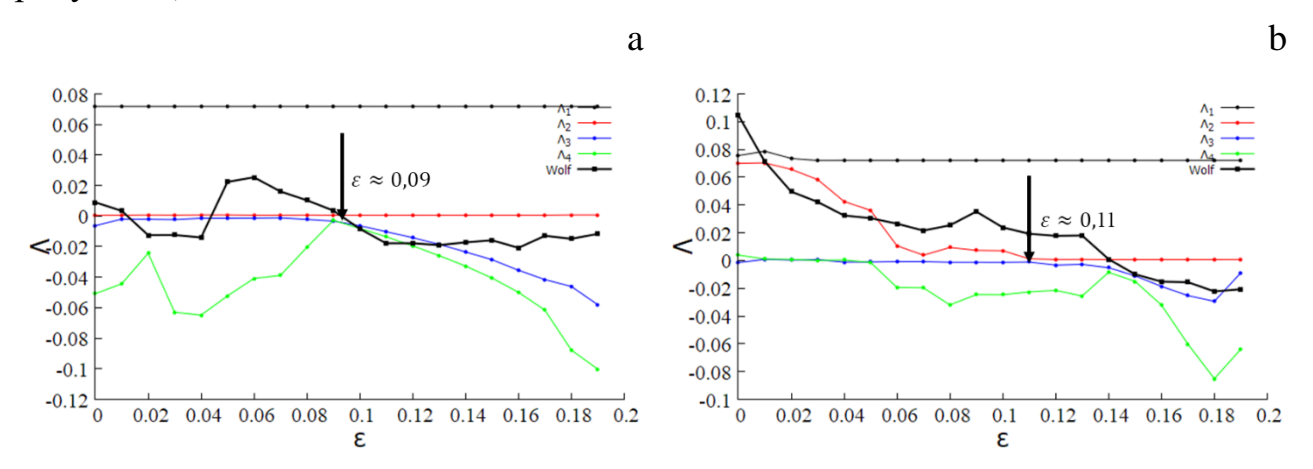


Рисунок 2 — Сравнение старшего ляпуновского показателя, рассчитанного методом Вольфа и при помощи алгоритма Бенеттина. Здесь представлены спектры показателей Ляпунова для однонаправленно связанных систем Ресслера с  $a_2 = 0.09$  и  $a_2 = 0.15$ .

Видно, втором что во случае значение параметра связи, обобщенной соответствующее переходу К режиму синхронизации, полученное методом Вольфа, оказалось несколько больше, чем значение, полученное классическим методом. Это можно объяснить тем, что метод Вольфа недостаточно точен.

На рисунке 3 представлены зависимости относительного отклонения старшего ляпуновского показателя, рассчитанного каждым методом, от отношения амплитуды белого шума к размеру аттрактора. Видно, что значения относительного отклонения старшего ляпуновского показателя, рассчитанные методами Вольфа и Розенштейна, отличаются не только

величиной, но и характером поведения. При использовании методов Вольфа насыщение старшего ляпуновского показателя не наблюдается. На графиках, полученных методом Вольфа с нефиксированным интервалом накопления, имеется разрыв, обусловленный тем, что не удается обнаружить нужные точки для новых векторов возмущения.

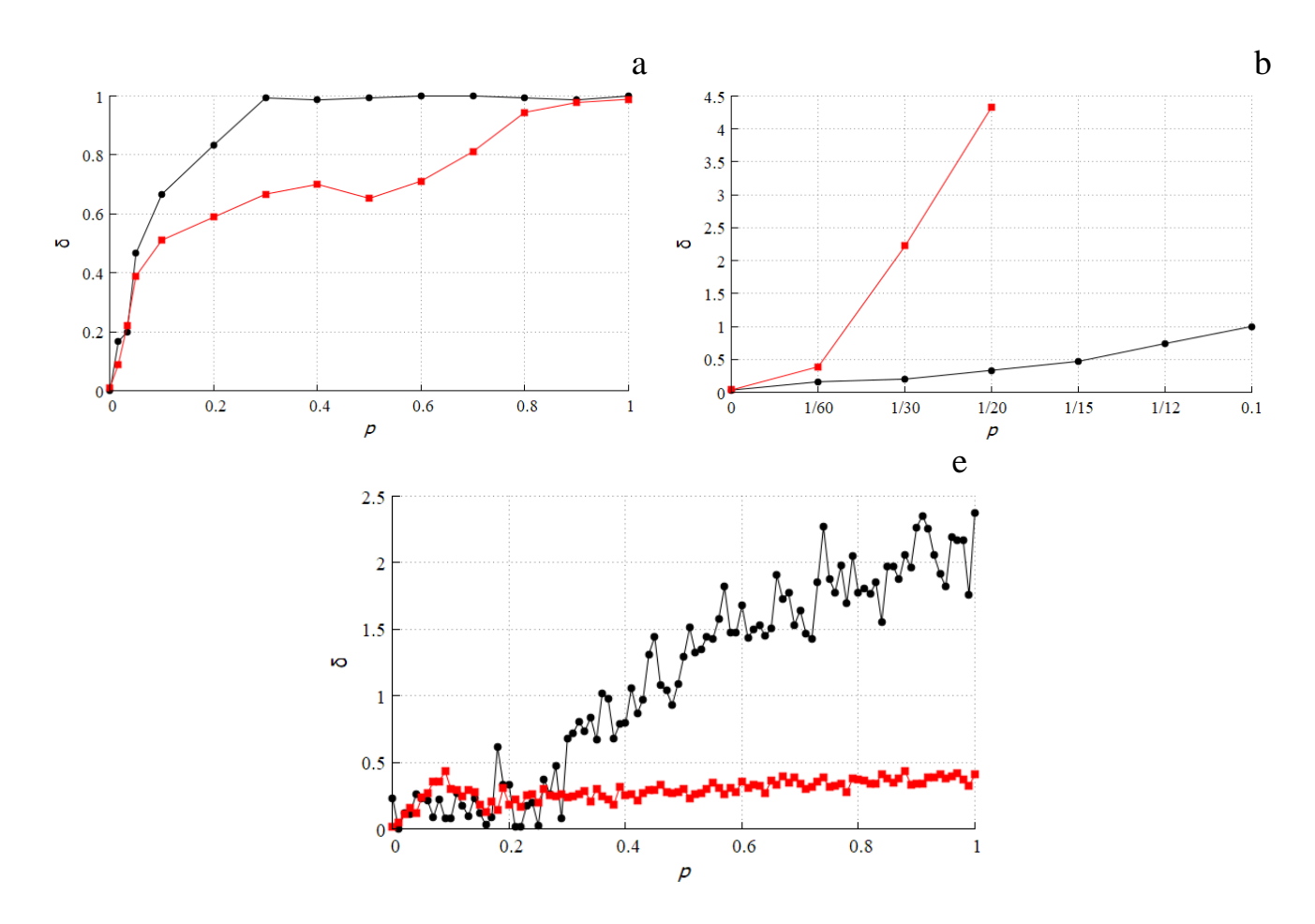


Рисунок 4 — Зависимость относительного отклонения старшего ляпуновского показателя  $\Lambda$  системы Лоренца, рассчитанного методом Розенштейна (a) и методом Вольфа с переменным (b) и фиксированным (c) интервалом накопления

### Заключение

В ходе бакалаврской работы были рассмотрены основные методы диагностики обобщенной синхронизации, такие, как метод вспомогательной системы, метод ближайших соседей, метод фазовых трубок и метод расчета ляпуновских показателей (алгоритм Бенеттина). Были представлены методы

расчета старшего ляпуновского показателя по временным рядам (метод Вольфа и метод Розенштейна), а также методы определения спектра показателей Ляпунова (метод Вольфа и метод преобразования системы в отображение). Был подробно рассмотрен метод запаздываний, используемый для восстановления фазового пространства исследуемой системы. Была представлена процедура выбора оптимальной величины задержки и метода оценки размерности вложения.

Методы расчета старшего ляпуновского показателя по временным рядам были использованы для изучения динамики хаотических систем Ресслера и Лоренца, а также для определения порогового значения параметра связи, соответствующего переходу к режиму обобщенной синхронизации. Также были продемонстрированы результаты вычисления старшего показателя Ляпунова при добавлении к исходным данным стационарного шума.

Было показано, что наиболее точным является метод Вольфа с фиксированным интервалом накопления в случае однородного аттрактора системы. В противном случае, более точными оказались метод Вольфа с накоплением по расстоянию и метод Розенштейна. Также было установлено, что порог обобщенной синхронизации увеличивается с ростом интервала накопления, а модуль ляпуновского показателя уменьшается.

Метод Розенштейна также показал лучшую устойчивость к стационарному шуму по сравнению с другими подходами, а метод Вольфа с нефиксированным интервалом накопления – худшую.

Метод Вольфа с фиксированным интервалом накопления позволяет получить значение параметра связи, соответствующее переходу к обобщенной синхронизации, с небольшой погрешностью при малой амплитуде шумовых помех во входном сигнале.

Итоговые зависимости методов определения спектра ляпуновских показателей не были представлены в связи с недостаточной точностью.

Результаты работы могут быть использованы при анализе устойчивости системы, а также диагностики обобщенной синхронизации.

## Список использованной литературы

- 1. *S. Boccaletti et al.* The synchronization of chaotic systems // Physics Reports. 2002. V. 366. P. 1.
- 2. *M. G. Rosenblum et al.* Phase Synchronization of Chaotic Oscillators. // Phys. Rev. Lett. 1996. V. 76, № 11. P. 1804.
- 3. *M. G. Rosenblum et al.* From phase to lag synchronization in coupled chaotic oscillators // Phys. Rev. Lett. 1997. V. 78, № 22. P. 4193.
- 4. L. M. Pecora et al. Driving systems with chaotic signals // Phys. Rev. A. 1991. V. 44. P. 2374.
- 5. A. A. Koronovskii et al. Nearest neighbors, phase tubes, and generalized synchronization // Phys. Rev. E. 2011. V. 84, № 3. P. 037201.
- 6. *А. А. Короновский и др.* О механизмах, приводящих к установлению режима обобщенной синхронизации // ЖТФ. 2006. Т. 76, № 2. С. 1.
- 7. *M. G. Rosenblum et al.* Synchronization approach to analysis of biological systems // Fluct. Noise Lett. 2004. V. 4, № 1. P. L53.
- 8. *O. I. Moskalenko et al.* Generalized synchronization of chaos for secure communication: Remarkable stability to noise // Phys. Lett. A. 2010. V. 374, Issue 29. P. 2925.
- 9. *B. K. Meadows et al.* Nonlinear antenna technology // Proc. IEEE. 2002. V. 90. P. 882.
- 10. *K. Pyragas et al.* Weak and strong synchronization of chaos // Phys. Rev. E. 1996. V. 54. P. R4508.
- 11. *Rulkov, N. F.* Generalized synchronization of chaos in directionally coupled chaotic systems // Phys. Rev. E. 1995. V. 51, № 2. PP. 980–994.
- 12. *Короновский А.А. и др.* Теоретическое исследование обобщенной синхронизации диссипативно связанных хаотических систем в присутствии шума // Изв. РАН. Сер. физическая. 2009. Т. 73, № 12. С. 1723.
- 13. *Tao Deng et al.* Chaos synchronization in mutually coupled semiconductor lasers with asymmetrical bias currents//Opt.Express.2011.V. 19, Issue 9.P. 8762.
- 14. O. I. Moskalenko et al. Generalized synchronization in mutually coupled

- oscillators and complex networks // Phys. Rev. E. 2012. V.86 P. 036216.
- 15. *H.D. I Abarbanel et al.* Generalized synchronization of chaos: The auxiliary system approach // Phys Rev E. 1996. V. 53, № 5. P. 4528.
- 16. *O.I. Moskalenko* et al. Inapplicability of an auxiliary-system approach to chaotic oscillators with mutual-type coupling and complex networks // Phys. Rev. E. 2013. V. 87. P. 064901.
- 17. С.П. Кузнецов "Динамический хаос" М:ФИЗМАТЛИТ, 2006.
- 18.*A. E. Hramov etc.* Analytical expression for zero Lyapunov exponent of chaotic noised oscillators // Chaos, Solitons and Fractals. 2015. Vol. 78. PP. 118-123.
- 19. В.В. Сычев "Вычисление стохастических характеристик и физиологических данных" Пущино, 1999.
- 20. A. Wolf et al. Determining lyapunov exponents from a time series // Physica D. 1985. V. 16. PP. 285-317.
- 21. *M.T. Rosenstein et al.* A practical method for calculating largest Lyapunov exponents from small data series // Physica D. 1993. V. 65, Issues 1-2. P. 117.
- 22. *A. N. Pavlov et al.* Characterization of the chaos-hyperchaos transition based on return times // PHYSICAL REVIEW E. 2015. V. 91. P. 022921.
- 23. A. N. Pavlov etc. Quantifying chaotic dynamics from integrate-and-fire processes. // Chaos. 2015. V. 25. P. 013118.
- 24. A. N. Pavlov etc. Determining the largest Lyapunov exponent of chaotic dynamics from sequences of interspike intervals contaminated by noise // Eur. Phys. J. B. 2017. 90:61.
- 25.*Ю.А. Передерий*. Метод оценки спектра ляпуновских показателей по временной реализации // Изв. вузов «ПНД». 2012. т. 20, вып. 1. С. 99.
- 26.*N. B. Janson et al.* Reconstruction of dynamical and geometrical properties of chaotic attractors from threshold-crossing interspike intervals // Phys. Rev. E. 1998. V. 58. P. R4.
- 27.*А. А. Короновский и др.* Обобщенная синхронизация в сетях со сложной топологией межэлементных связей // Радиотехника и электроника. 2013. Т. 58, № 5. С. 507.